

РЕШЕНИЕ ДИНАМИЧЕСКОЙ ЗАДАЧИ  
ПРОНИКАНИЯ ТВЕРДОГО КОНУСА В  
ПЕРВОНАЧАЛЬНО-УПРУГУЮ  
ТРАНСВЕРСАЛЬНО-ИЗОТРОПНУЮ СРЕДУ

Ասատրյան Վ.Լ., Բաղդոսյան Ա.Գ., Վանցյան Ա.Ա.

Վ.Լ. Ասատրյան, Ա.Գ. Բաղդոսյան, Ա.Ա. Վանցյան

Նախապես առանձնահատուկ տրանսվերսալ - իզոտրոպ միջավայր անվերջ կոշտ կոնի ներթափանցման դինամիկ խնդրի լուծումը:

Դարը կտրվածքների վարկածի հիման վրա լուծված է անվերջ կոշտ կոնի ներթափանցման դինամիկ խնդիրը Ցույց է տրված դինամիկ անդամների և միջավայրի անիզոտրոպիայի ազդեցությունը ներթափանցման արագեւի վրա

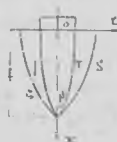
V. L. Asatryan, A.G. Bagdasyan, A.A. Vantsyan

The solution of dynamic problem of penetration of rigid cone into initially elastic transversal - isotropic medium

Рассматривается задача проникания твердого бесконечного конуса в трансверсально-изотропную среду по гипотезе плоских сечений. Показано влияние динамических членов и анизотропии среды на процесс проникания

Рассматривается задача проникания твердого бесконечного конуса в трансверсально-изотропную среду по гипотезе плоских сечений. Задача проникания тонкого твердого тела в анизотропную среду в квазистатической постановке решена в [1]. Для изотропной среды динамическая задача проникания твердого индентора решена в [2].

В рассматриваемой модели проникания вводится поверхность разрушения, впереди которой среда упругая, а позади нее пластическая. Если рассматривать среду, подчиняющуюся уравнениям Прандтля-Рейса, то следует полагать



Փյգ. 1

$\dot{\varepsilon}_{ij} = \frac{1}{\mu} \dot{s}_{ij} + \frac{\varepsilon_{ij}}{\tau_c} s_{ij}$ , где для простоты взята изотропная среда ( $\mu$  — модуль

сдвига) Предполагая  $\frac{\tau_c}{\mu \varepsilon} \frac{d}{dt} \ll 1$ , т.е. считая задачу квазистатической,

можно получить уравнения пластического течения. Из результатов полученных для данной среды, следует [1]  $\varepsilon_r = 2 \frac{v_r}{r} = 2 \frac{r_1}{r^2} \frac{\partial r_1}{\partial t}$ , тогда

получится для порядков величины  $\frac{\tau_c}{\mu} \frac{r^2}{2r_1^2} \ll 1$ . При  $r/r_1 \rightarrow 1$ , в силу

малости,  $\tau_c/\mu$  можно в уравнениях течения пренебречь первым

слагаемым, что выполняется в области пластичности на некотором

удалении от поверхности разрушения. При  $\frac{r^2}{r_1^2} \sim \frac{\mu}{\tau_c}$ , т.е. вблизи

поверхности разрушения, следует удерживать все слагаемые. Таким

путем, мы обосновываем правильность использования уравнения

идеальной теории пластичности вблизи тела, а вдали от него следует

сравнивать решение с упругим решением. Такая модель принята в

квазистатической по терминологии [6] задаче, которая соответствует

идеальной пластичности. То, что принимается модель идеальной

пластичности позади фронта разрушения, сделана в указанной статье и в

статьях А. Я. Сагомоняна

Вначале рассматривается задача для тела формы криволинейного

конуса, переходящего в цилиндр, уравнение которого берется в форме

$$r_1 = r_0 - \beta(\zeta - f + x)^{\alpha} \quad (1)$$

где ось  $ox$  направлена вдоль направления проникания,  $r_0 = \beta \zeta^{\alpha}$  есть

радиус цилиндрической части тела,  $f$  — глубина проникания,  $\zeta$  — высота

конуса,  $\alpha > 1$ ,  $\beta$  — постоянная, (фиг. 1). Как и в [1], радиальная

скорость частиц при выполнении гипотезы плоских сечений имеет вид [1]

$$v_r = \frac{r_1}{r} \frac{\partial r_1}{\partial t} \quad (2)$$

откуда с учетом (1)

$$\frac{dv_r}{dt} = \frac{\beta^2 v^2}{r} (\zeta - f + x)^{2(\alpha-1)} f'^2 + \frac{r_1}{r} \beta v (\zeta - f + x)^{\alpha-1} f'' - \beta v (\alpha-1) \frac{r_1}{r} (\zeta - f + x)^{\alpha-2} f'^2 - \frac{r_1^2}{r^2} \beta^2 v^2 (\zeta - f + x)^{2(\alpha-1)} f'^2 \quad (3)$$

В области пластичности вблизи индикатора можно записать для связи тензора скоростей деформаций и тензора напряжений [5]

$$\begin{aligned}\dot{\varepsilon}_{xx} &= \bar{a} \left[ H(\sigma_{xx} - \sigma_{\theta\theta}) + G(\sigma_{rr} - \sigma_{zz}) \right] \\ \dot{\varepsilon}_{rr} &= \bar{a} \left[ H(\sigma_{\theta\theta} - \sigma_{xx}) + F(\sigma_{zz} - \sigma_{zz}) \right] \\ \dot{\varepsilon}_{zz} &= \bar{a} \left[ G(\sigma_{xx} - \sigma_{xx}) + F(\sigma_{zz} - \sigma_{\theta\theta}) \right]\end{aligned}\quad (4)$$

Условие текучести Мизеса записывается в виде

$$H(\sigma_{xx} - \sigma_{\theta\theta})^2 + G(\sigma_{xx} - \sigma_{zz})^2 + F(\sigma_{\theta\theta} - \sigma_{zz})^2 = 1 \quad (5)$$

В (4) и (5)  $F$ ,  $G$ ,  $H$  даются формулами

$$2F = \frac{1}{\tau_{\theta\theta}^2} + \frac{1}{\tau_{zz}^2} - \frac{1}{\tau_{rr}^2}, \quad 2G = \frac{1}{\tau_{zz}^2} + \frac{1}{\tau_{rr}^2} - \frac{1}{\tau_{\theta\theta}^2}, \quad 2H = \frac{1}{\tau_{rr}^2} + \frac{1}{\tau_{\theta\theta}^2} - \frac{1}{\tau_{zz}^2} \quad (6)$$

где  $\tau_{xx}$ ,  $\tau_{rr}$ ,  $\tau_{zz}$  — пределы текучести в соответствующих направлениях. величина  $\bar{a}$  в формулах (4) подлежит определению.

Согласно гипотезе плоских сечений  $\dot{\varepsilon}_{zz} = 0$  и из (4) можно получить

$$\sigma_{xx} - \sigma_{zz} = -\frac{G}{F}(\sigma_{zz} - \sigma_{xx}) \quad (7)$$

Вводя девиаторы напряжения  $\sigma_{xx} - \sigma = \sigma_{xx}$ ,  $\sigma_{rr} - \sigma = \sigma_{rr}$ ,

$$\sigma_{\theta\theta} - \sigma = \sigma_{\theta\theta}, \quad \text{где } 3\sigma = \sigma_{xx} + \sigma_{rr} + \sigma_{\theta\theta} \quad (8)$$

систему уравнений (4) можно записать в виде

$$\begin{aligned}\sigma_{xx} + \sigma_{rr} + \sigma_{\theta\theta} &= 0 \\ \sigma_{xx} &= \sigma_{\theta\theta} + \frac{G}{F}(\sigma_{rr} - \sigma_{xx})\end{aligned}\quad (9)$$

$$\frac{\dot{\varepsilon}_{\theta\theta}}{\bar{a}} = H(\sigma_{\theta\theta} - \sigma_{rr}) + F(\sigma_{\theta\theta} - \sigma_{xx})$$

и обозначая

$$\sigma_{xx} = \frac{\dot{\varepsilon}_{\theta\theta}}{\bar{a}} \bar{\sigma}_{rr}, \quad \sigma_{\theta\theta} = \frac{\dot{\varepsilon}_{\theta\theta}}{\bar{a}} \bar{\sigma}_{\theta\theta}, \quad \sigma_{zz} = \frac{\dot{\varepsilon}_{\theta\theta}}{\bar{a}} \bar{\sigma}_{zz} \quad (10)$$

условие текучести Мизеса можно переписать в виде

$$H(\bar{\sigma}_{rr} - \bar{\sigma}_{\theta\theta})^2 + G(\bar{\sigma}_{rr} - \bar{\sigma}_{zz})^2 + F(\bar{\sigma}_{\theta\theta} - \bar{\sigma}_{zz})^2 = \frac{\bar{a}^2}{\dot{\varepsilon}_{\theta\theta}^2} \quad (11)$$

Из (9) можно получить

$$\bar{\sigma}_{rr} = \frac{F-G}{\alpha}, \quad \bar{\sigma}_{rr} = \frac{2F+G}{-\alpha}, \quad \bar{\sigma}_{\theta\theta} = \frac{2G+F}{\alpha} \quad (12)$$

где  $\alpha = 3(GF + GH + FH)$

Для определения неизвестного  $\bar{a}$  в (4) из (11) и (12) следует

$$\frac{\dot{\varepsilon}_{\theta\theta}^2}{\bar{a}^2} = \frac{\alpha}{3(G+F)} \quad (13)$$

Из уравнения движения, записанного из предположения гипотезы плоских сечений

$$\frac{\partial \sigma_{\alpha\alpha}}{\partial t} + \frac{\sigma_{\alpha\alpha} - \sigma_{\theta\theta}}{r} = \rho \frac{dv_r}{dt} \quad (14)$$

и из соотношений (10), (12) можно получить

$$\frac{\partial \sigma_{\alpha\alpha}}{\partial r} - \sqrt{\frac{3(G+F)}{\alpha}} \frac{1}{r} = \rho \frac{dv_r}{dt} \quad (15)$$

Интегрируя уравнение (15) с учетом (3), получим

$$\sigma_{\alpha\alpha} = \sqrt{\frac{3(G+F)}{\alpha}} \ln r + A \ln r - \frac{B}{2r^2} + c_1 \quad (16)$$

где

$$A = \rho \beta^2 v^2 (\zeta - f + x)^{2(v-1)} f'^2 + \rho r_1 \beta v (\zeta - f + x)^{v-1} f'' - \\ - \rho \beta v (v-1) r_1 (\zeta - f + x)^{v-2} f'^2$$

$$B = -\rho r_1^2 \beta^2 v^2 (\zeta - f + x)^{2(v-1)} f'^2$$

$c_1$  — постоянная интегрирования.

Из (16) видно, что для среды, в которой  $\alpha \rightarrow 0$ ,  $\sigma_{\alpha\alpha} \rightarrow \infty$ . Причиной особого поведения  $\sigma_{\alpha\alpha}$  при  $\alpha \rightarrow 0$ , также для общего случая без гипотезы плоских сечений, является нарушение условий выпуклости поверхности текучести (11).

Записав соотношения (4) в виде

$$\sigma_{\alpha\alpha} = - \frac{(2F+G)\varepsilon_{\theta\theta} / \bar{a} + (2F+H)\dot{\varepsilon}_{\alpha\alpha} / \bar{a}}{\alpha}, \\ \sigma_{\theta\theta} = \frac{(2G+F)\varepsilon_{\theta\theta} / \bar{a} + (F-H)\dot{\varepsilon}_{\alpha\alpha} / \bar{a}}{\alpha}, \\ \sigma_{\alpha\alpha} = \frac{(F-G)\varepsilon_{\theta\theta} / \bar{a} + (F+2H)\dot{\varepsilon}_{\alpha\alpha} / \bar{a}}{\alpha} \quad (17)$$

и ограничиваясь случаем трансверсальной изотропии среды, для которой

$$F = G = \frac{1}{2\tau_{\alpha\alpha}^2}, \quad H = \frac{1}{\tau_{\alpha\alpha}^2} - \frac{1}{2\tau_{\alpha\alpha}^2}, \quad \alpha = \frac{3}{\tau_{\alpha\alpha}^2} \left( \frac{1}{\tau_{\alpha\alpha}^2} - \frac{1}{4\tau_{\alpha\alpha}^2} \right)$$

условие текучести Милера (5) можно в плоскости  $\varepsilon_{\alpha\alpha}$  —  $\varepsilon_{\theta\theta}$  записать в виде

$$\left(\frac{\dot{\epsilon}_{rr}}{\bar{a}} - \frac{\dot{\epsilon}_{\theta\theta}}{\bar{a}}\right)^2 + \frac{\dot{\epsilon}_{rr}}{\bar{a}} \frac{\dot{\epsilon}_{\theta\theta}}{\bar{a}} \left(4 - \frac{\tau_{rr}^2}{\tau_{rr}^2}\right) = \frac{1}{\tau_{rr}^2} \left(1 - \frac{\tau_{rr}^2}{4\tau_{rr}^2}\right) \quad (18)$$

Уравнение (18) в переменных  $\epsilon_{rr}/\bar{a}$ ,  $\epsilon_{\theta\theta}/\bar{a}$  даст в случае  $\tau_{rr} = 2\tau_{rr}$  замкнутую кривую, а в случае  $\tau_{rr} > 2\tau_{rr}$  гиперболу

В случае  $\tau_{rr} = 2\tau_{rr}$  получается вырожденное уравнение  $\epsilon_{rr} = \epsilon_{\theta\theta}$ . Таким образом, при  $\tau_{rr} \geq 2\tau_{rr}$  условие пластичности для выпуклой кривой нарушается, что приводит при  $\tau_{rr} \rightarrow 2\tau_{rr}$  к бесконечным и при  $\tau_{rr} > 2\tau_{rr}$  к минимальным напряжениям. Тем не менее, при  $\tau_{rr} = 2\tau_{rr}$  малом, но конечном, получается эффект значительного увеличения сопротивления среды и уменьшения глубины проникания.

В [4] исследуется случай отклонения решения от значений, полученных по гипотезе плоских сечений. Как выяснилось, и в данной в [4] постановке получается при  $\tau_{rr} \rightarrow 2\tau_{rr}$  бесконечные напряжения, что, как показано выше, связано с невыполнением условия выпуклости поверхности (кривой) пластичности.

В упругой области между напряжениями и деформациями имеют место соотношения

$$\begin{aligned} \sigma_{rr} &= a_{11}\epsilon_{rr} + a_{12}\epsilon_{\theta\theta} & \sigma_{r\theta} &= a_{44}\epsilon_{r\theta} & \epsilon_{rr} &= \frac{\partial u_r}{\partial r} \\ \sigma_{\theta\theta} &= a_{12}\epsilon_{rr} + a_{22}\epsilon_{\theta\theta} & \sigma_{r\theta} &= a_{55}\epsilon_{r\theta} \\ \sigma_{rr} &= a_{11}\epsilon_{rr} + a_{23}\epsilon_{\theta\theta} & \sigma_{\theta r} &= a_{66}\epsilon_{\theta r} & \epsilon_{\theta\theta} &= \frac{u_r}{r} \end{aligned} \quad (19)$$

В силу того, что скорость упругих волн намного больше, чем скорость проникания, то в упругой области инерционными членами можно пренебречь. Подставляя (19) в уравнение равновесия, можно записать

$$\frac{\partial^2 u_r}{\partial r^2} + \frac{1}{r} \frac{\partial u_r}{\partial r} - \frac{a_{22}}{a_{11}} \frac{u_r}{r^2} = 0 \quad (20)$$

решение которого находится в виде

$$u_r = cr^n \quad n = -\sqrt{\frac{a_{22}}{a_{11}}} \quad (21)$$

Используя (19), (21) и (16), можно получить

$$\sigma_{rr} = \left[ \sqrt{\frac{3(G+F)}{\alpha}} + A \right] \ln \frac{r}{r_k \xi_0} + \frac{B}{2} \left( \frac{1}{r_k^2 \xi_0^2} - \frac{1}{r^2} \right) + \sigma_{rr}^* \quad (22)$$

где  $r = r_k \xi_0$  — уравнение фронта пластичности S;  $\sigma_{rr}^*$  — напряжение на упругой области при  $r = r_k \xi_0$ . Для определения  $\xi_0$  подставляя (19) в

условие текучести Мингеса, с учетом (21), получим

$$H(a_{11}n - a_{12}n + a_{12} - a_{22})^2 + G(a_{11}n - a_{11}n + a_{12} - a_{21})^2 + E(a_{12}n - a_{11}n + a_{22} - a_{21}) = \frac{1}{c^{\frac{1}{2} \frac{1+(n-1)\xi_0^{2(n-1)}}{r_1^2 \xi_0^{2(n-1)}}}} = \bar{c} \quad (23)$$

Подставляя  $\sigma_{rr}$ , записанное с учетом (21), (19), и используя (23) для  $\sigma_{rr}$  при  $r = r_1$ , следует получить

$$\sigma_{rr} = - \left[ \sqrt{\frac{3(G+F)}{\alpha}} + A \right] \ln \xi_0 + (a_{11}n + a_{12})c^{-\frac{1}{2}} + \frac{B}{2} \left( \frac{1}{r_1^2 \xi_0^2} - \frac{1}{r_1^2} \right) \quad (24)$$

Используя непрерывность скоростей на фронте  $r = r_1 \xi_0$

$$\frac{1}{\xi_0} \frac{\partial r_1}{\partial t} = \frac{\partial c}{\partial t} r_1^* \xi_0^*, \quad \bar{c} = \frac{1}{\xi_0^{n+1}} \frac{r_1^{1-n}}{1-n}$$

и с учетом (23) для определения  $\xi_0$  получим

$$\xi_0^4 = \frac{\bar{c}}{(1-n)^2}$$

Для трансверсально-изотропной среды  $F = G$  или  $\tau_{rr} = \tau_{\theta\theta}$ ,

$a_{11} = a_{22} = \lambda + 2\mu$ ,  $n = -1$ ,  $a_{12} = \lambda$ ,  $a_{11} = a_{21}$ ,  $a_{44} = \mu$ ,  $a_{33} = a_{66}$ , где  $\lambda, \mu$  — коэффициенты Ламе.

$$\bar{c} = 8\mu^2(F + 2H), \quad \xi_0^4 = 2\mu^2(F + 2H), \quad \alpha = 3(F^2 + 2FH)$$

Подставляя  $\bar{c}$  в (24), для  $\sigma_{rr}$  на теле получится

$$\sigma_{rr} = - \frac{1}{4} \left( \sqrt{\frac{2}{F+2H}} + A \right) \ln 2\mu^2(F+2H) - \frac{\sqrt{2}}{2\sqrt{F+2H}} + \frac{B}{2r_1^2} \left[ \frac{1}{\xi_0^2} - 1 \right] \quad (25)$$

Для трансверсально "изотропной" среды, где  $\tau_{rr} = \tau_{\theta\theta}$

$$F + 2H = 2 \left( \frac{1}{\tau_{rr}^2} - \frac{1}{4\tau_{\theta\theta}^2} \right), \quad \mu^2 \left( \frac{1}{\tau_{rr}^2} - \frac{1}{4\tau_{\theta\theta}^2} \right) > 1$$

что выполняется для металлов, следовательно,  $\sigma_{rr} \rightarrow -\infty$  [1, 3, 4]

Поэтому для сред со свойством  $\tau_{rr} = 2\tau_{\theta\theta}$  глубина проникания за счет анизотропии уменьшается, что наблюдается экспериментально на опытах со слоистыми композитами [4].

Сила сопротивления прониканию имеет вид

$$P = 2\pi \int_0^R r_i \left( -\frac{dr_i}{dx} + k_i \right) (-\sigma_{xx}) dx \quad (26)$$

где для конуса  $v = 1$ ,  $r_i = \beta(f - x)$ ;  $k_i$  — коэффициент трения

Подставляя (25) и (26), с учетом (10), для конуса  

$$P = A_1 f^2 + A_2 f^2 f'^2 + A_3 f^3 f''$$

где

$$A_1 = \beta(\beta + k_1) \frac{\pi}{4} \sqrt{\frac{2}{F+2H}} [2 + \ln 2\mu^2(F+2H)]$$

$$A_2 = \beta'(\beta + k_1) \frac{\pi}{4} \rho \left[ 2 \frac{1 - \zeta_0^2}{\xi_0^2} + \ln 2\mu^2(F+2H) \right]$$

$$A_3 = \beta'(\beta + k_1) \frac{\pi}{6} \rho \ln 2\mu^2(F+2H)$$

Записав уравнение движения  $mf'' = -P$ ,  $m$  — масса конуса и вводя обозначение  $f'^2 = p(f)$ , можно получить уравнение

$$-(m + A_1 f^3) p = 2(A_1 + A_2 p) f^2$$

Интегрируя, используя начальное условие  $t = 0$ ,  $p = v_0^2$  для  $f^2 = 0$ , получим

$$f'^2 = -\frac{A_1}{A_2} + \left( v_0^2 + \frac{A_1}{A_2} \right) \left( 1 + \frac{A_1 f^3}{m} \right)^{-\frac{2}{3} \frac{A_1}{A_2}}$$

Максимальная глубина проникания, с учетом того, что при  $f = f_{\max}$ ,  $f' = 0$ , дается формулой

$$f_{\max}^3 = \frac{m}{A_1} \left[ \left( \frac{A_1}{A_1 + A_2 v_0^2} \right)^{-\frac{3}{2} \frac{A_1}{A_2}} - 1 \right]$$

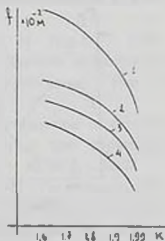
Ускорение тела дается в виде

$$f'' = -\left( v_0^2 + \frac{A_1}{A_2} \right) \frac{A_2}{m} f^2 \left( 1 + \frac{A_1 f^3}{m} \right)^{-\frac{2}{3} \frac{A_1}{A_2} - 1}$$

Ниже приведены графики  $f(k, f, \beta)$ ,

$f''(k, f, \beta)$ ,  $f_{\max}(k, \beta)$ , где  $k = \tau_{xx} / \tau_{xz}$

На фиг. 2 приведены зависимости  $f(k)$  для разных  $\beta$ . Зависимость скорости проникания



Фиг. 2

1 —  $\beta = 0.22$ ; 2 —  $\beta = 0.6$ ,

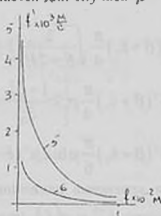
3 —  $\beta = 1$ , 4 —  $\beta = 5$

от координаты  $x$  при разных  $\beta$  и  $k$  приведена на фиг. 3 и 4. Как видно из фиг. 3 и 4, при  $k \rightarrow 2$  имеет место сильное затухание скорости. Зависимость  $f(k)$  для разных  $\beta$  показывает, что для  $\beta > 1$  характер изменения скорости по глубине сильно отличается для случаев  $\beta < 1$



Фиг. 3

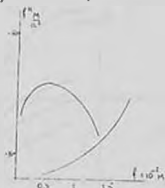
$K = 1,6 + 1,99$ ; для  $\beta = 0,22$ ;  
 для 8  $\beta = 0,6$ ;  
 для 16  $\beta = 5$



Фиг. 4

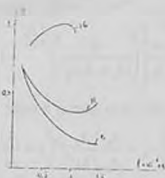
$K = 1,6 + 1,99$ ; для  $\beta = 100$ ;  
 для 6  $\beta = 1000$

Аналогичное явление в зависимости ускорения от координаты  $x$  имеет место для разных  $\beta$ . Как видно из фиг. 5, при  $\beta \geq 1$  зависимость  $f''(f)$  имеет экстремальный характер (кривая 11 - 14)



Фиг. 5

$K = 1,6 + 1,99$  для  $\beta = 0,22$ ;  
 для 13  $\beta = 1$



Фиг. 6

$K = 1 + 1,99$  для  $\beta = 0,22$ ;  
 для 6  $\beta = 0,6$ ;  
 для 11  $\beta = 1$ ;  
 для 16  $\beta = 5$

Расчеты показывают, что для тупых тел замедление проникающего тела в дюраль имеет большое значение в начальной стадии ( $f'' = 270 \cdot 10^6 \text{ м/сек}^2$  при  $\beta = 5 + 10$ ). Для более тупых тел  $\beta = 100, 1000, 1700$  основное замедление имеет место на малых глубинах, следовательно, инерционные члены основную роль играют при поверхностном слое в начальной стадии проникания. Все данные на графиках взяты в системе СИ.

На фиг.6 приведены зависимости отношения динамических членов к статическим от глубины для разных растворов угля при вершине проникающего тела. Как видно из фиг. 6, для тонких тел (кривая 1), где  $\beta = 0,2$ , инерционные слагаемые составляют 0,1 часть от статических членов, следовательно, квазистатический подход решения задачи проникания для тонких тел оправдывается. Для тел с конической частью  $\beta > 0,6$  необходимо учитывать динамические члены. На фиг. 6 приведена также зависимость отношения динамических и статических слагаемых от анизотропии среды.

Приведенные расчеты для больших  $\beta$  с использованием гипотезы плоских сечений не являются точными и могут лишь качественно указать тенденцию изменения ускорений для тупых инденторов.

## ЛИТЕРАТУРА

1. Багдоев А.Г., Ванцян А.А. Проникание тонкого тела в упругие анизотропные среды. Изв. АН Арм. ССР, Механика, 1983, т. 36, № 6, с. 23-30.
2. Сагомонян А.Я. Динамика пробивания претралд. М.: Изд. МГУ, 1988.
3. Багдоев А.Г., Ванцян А.А., Григорян М.С. Влияние анизотропных свойств металлических слоистых образцов на проникание. Изв. АН Арм. ССР, Механика, 1988, т. 41, № 6, с. 28-34.
4. Багдоев А.Г., Ванцян А.А., Григорян М.С. Исследование особенности напряжений в анизотропной пластической среде при проникании конуса. Изв. АН Арм. ССР, Механика, 1989, т. 42, № 4, с. 52-57.
5. Хилл Р. Математическая теория пластичности. М.: Гостехиздат, 1956.
6. Backman M.E., Goldsmit W. The mechanics of penetration of projectiles into targets. International Journal of Engineering Science 1978, vol. 16, N 1, p. 2-99.

Институт механики  
НАН Армении

Поступила в редакцию  
4.09.1992